

PLANCHE 1

Parathurammina soleimanovi LIPINA, 1955

Fig. 1. - Cf(3), Xiasi 7/186, (23636), RC23150, x140.

Paracaligella cf. geniculata MALAKHOVA, 1974

Fig. 2. - Cf1β, Tiekegeng 8c, (23479), RC22983, x75.

cf. *Haplophragmina* sp.

Fig. 3. - Cf(3), Xiasi 7/186, (23439), RC3008, x75.

Fig. 4. - Cf1β, Tiekegeng 8c, (23487), RC23109, x75.

Lituotubella cf. radaevkaensis DAIN, 1953

Fig. 5. - Cf4α, Fm. Jiusi, région de Dushan, 78, (23469), RC22986, x75.

Fig. 6. - Idem , (23606), RC23148, x75.

cf. *Condurstella* sp.

Fig. 7. - Cf4α, Fm. Jiusi, région de Dushan, 78, (23609), RC23148, x75.

cf. *Septatournayella* sp.

Fig. 8. - Cf1(α), Baihupo 6/7e, (23448), RCR23048, x75.

Septatournayella rauserae rauserae LIPINA, 1955

Fig. 9. - Cf1 (α), Xiasi 7/147, (23451), RC23076, x75.

Fig. 10. - Cf1 (α), Xiasi 7/150, (23614), RC23141, x75.

Fig. 11. - Idem , (23539), WU, x75.

Fig. 12. - Idem , (23535), WU, x75.

Tournayellinae

Fig. 13. - Cf(3), Xiasi 7/185, (23528), WU, x75.

Rectoseptatournayella sp.

Fig. 14. - Cf1 (α), Baihupo 6/7e, (23466), RC23101, x75.

cf. *Glomospirannella* sp.

Fig. 15. - Cf1β tiekeng 8, (23701), RC23191, x75.

Tournayellina beata (MALAKHOVA, 1956)

Fig. 16. - Cf1β, Tiekegeng 8c, (23481), RC23109, x75.

Septabrunsiina sp.

Fig. 17. - Cf1(α), Xiasi 7/150, (23544), WU, x75.

Septabrunsiina sp. 1 aff. *kingirica* REITLINGER, 1961

Fig. 18. - Df3δ, Xiasi 7/127, (23450), RC23061, x75.

Fig. 19. - Cf1γ, Xiasi 7/170, (23453), RC23087, x75.

Fig. 20. - Idem , (23462), RC23106, x75.

Fig. 21. - Cf1γ, Xiasi 7/174, (23508), WU, x75.

PLANCHE 1

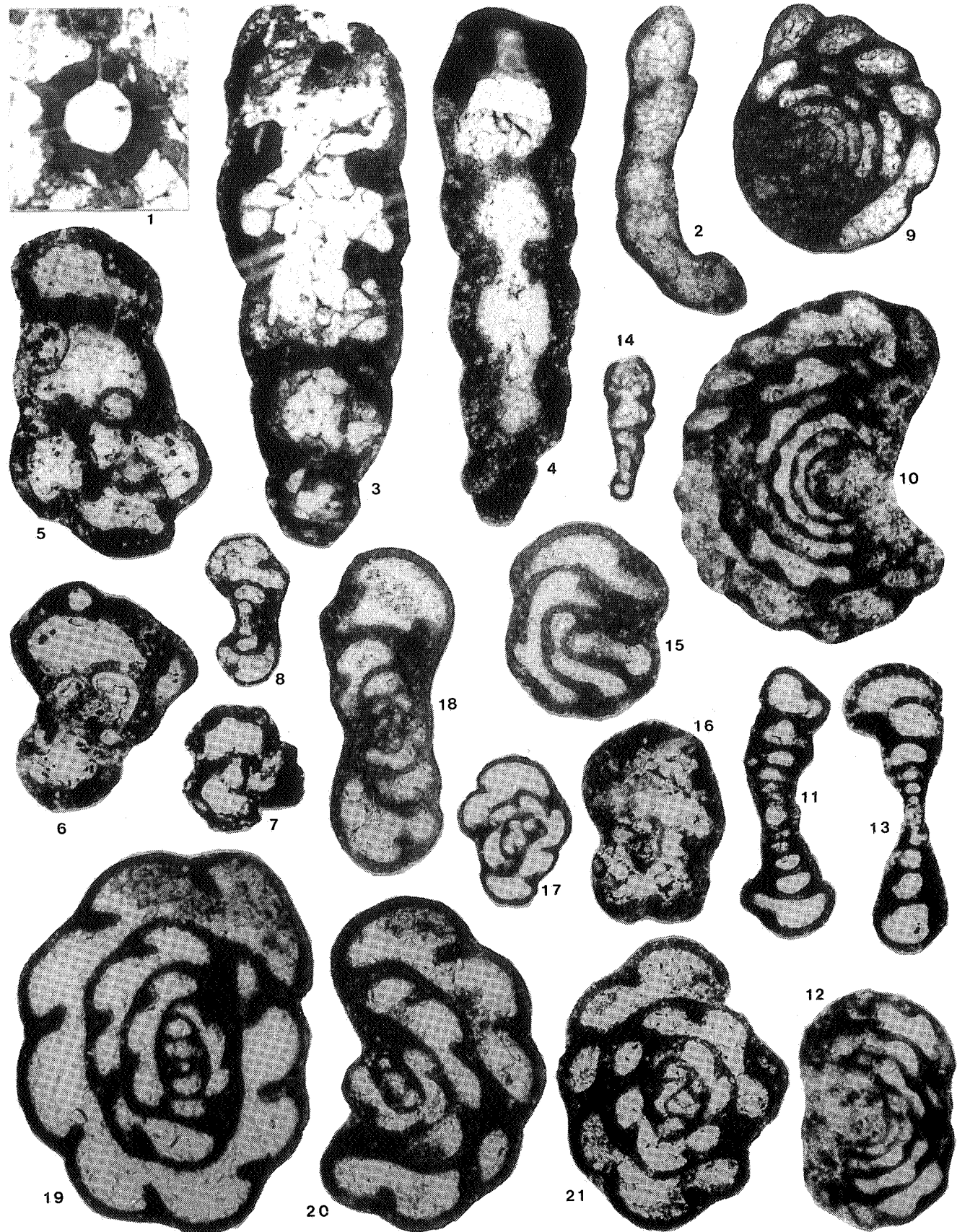


PLANCHE 2

Septabrunsiina sp. 1 aff. *kingirica* REITLINGER, 1961

- Fig. 22. - Cf1γ, Xiasi 7/170, (23616), RC23144, x75.
Fig. 23. - Cf1γ, Xiasi 7/174, (23505), WU, x75.

Septabrunsiina aff. *kingirica* REITLINGER, 1961

- Fig. 24. - Cf1γ, Xiasi 7/170, (23617), RC23145, x75.

Septabrunsiina sp.

- Fig. 25. - Cf1γ, Xiasi 7/170, (23618), RC23145, x75.

Spinobrunsiina sp.

- Fig. 26. - Cf4α, Fm. Jiusi, région de Dushan, 78, (23607), RC23148, x75.
Fig. 27. - Cf1γ, Xiasi 7/170, (23461), RC23106, x75.
Fig. 28. - Cf4α, Fm. Jiusi, région de Dushan, 78, (23611), RC23148, x75.
Fig. 29. - Cf(3), Xiasi 7/187, (23474), RC23011, x75.

Septabrunsiina kingirica REITLINGER, 1961

- Fig. 30. - Cf1β, Tiecheng 8c, (23693), RC23167, x75.
Fig. 31. - Cf1(α), Xiasi 7/150, (23541), WU, x75.
Fig. 32. - Idem , (23545), WU, x75.
Fig. 33. - Idem , (23537), WU, x75.

Septabrunsiina sp.

- Fig. 34. - Cf (3), Xiasi 7/183, (23687), RC23152, x75.

Septabrunsiina sp.

- Fig. 35. - Cf4α, Fm. Jiusi, région de Dushan, 78, (23610), RC23148, x75.

Septabrunsiina sp.

- Fig. 36. - Cf (3), Xiasi 7/183, (23688), RC23152, x75.

Endospiroplectammina sp. 1 nov.

- Fig. 37. - Cf1γ, Xiasi, 7/174, (23504), WU, x75.
Fig. 38. - Idem , (23521), WU, x75.

Endospiroplectammina yongfuensis (WANG, 1985)

- Fig. 39. - Cf1γ, Xiasi 7/170, (23686), RC23180, x75.
Fig. 40. - Cf (3), Xiasi 7/185, (23442), RC23007, x75.
Fig. 41. - Cf1γ, Xiasi 7/170, (23621), RC23146, x75.

Palaeospiroplectammina (?) *globata* LIPINA, 1965

- Fig. 42. - Cf1γ, Xiasi 7/174, (23517), WU, x75.
Le spécimen fig. 2 de *Palaeospiroplectammina orientalis* WANG, 1985 (holotype non désigné) a des dimensions comparables, mais sa paroi est plus mince. Le spécimen fig. 5 attribué à la même espèce par WANG présente une croissance plus lente de la partie bisériée comme notre spécimen fig. 40, rapporté à *Endospir. yongfuensis*. La classification de ces grands bisériés très variables nécessite un matériel abondant.

Palaeospiroplectammina (?) cf. *globata* LIPINA, 1965

- Fig. 43. - Cf1γ, Xiasi 7/174, (23523), WU, x75.

Palaeospiroplectammina tchernyshinensis LIPINA, 1948

- Fig. 44. - Cf1γ, Xiasi 7/174, (23564), WU, x75.
Fig. 45. - Cf1β, Xiasi 7/168, (23564), WU, x75.
Fig. 46. - Cf(3), Xiasi 7/185, (23529), WU, x75.

PLANCHE 2

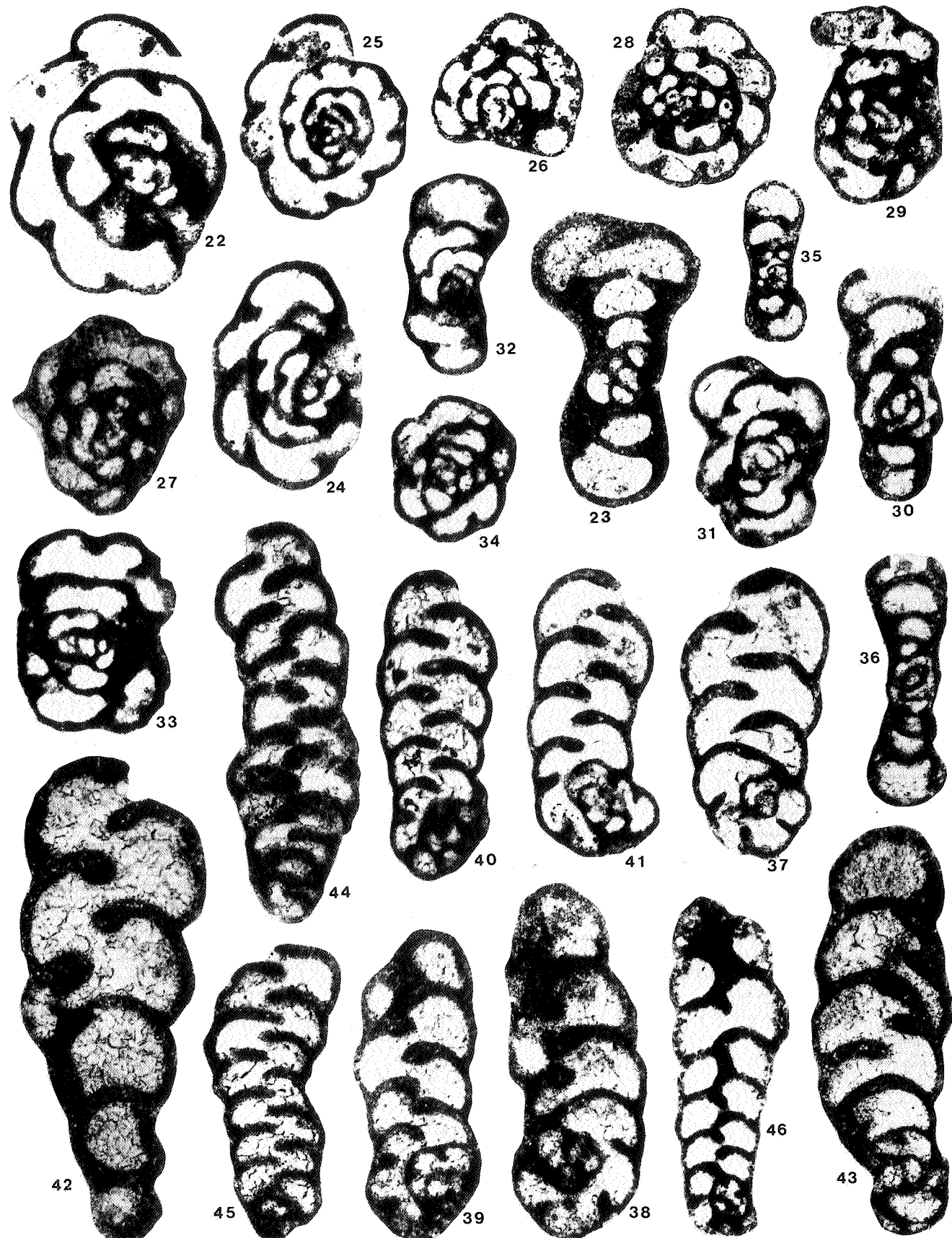


PLANCHE 3

Palaeospirolectammina tchernyshensis LIPINA, 1948

Fig. 47. - Cf1 β , Xiasi 7/169, (23555), WU, x75.

Endospirolectammina aff. yongfuensis WANG, 1986

Fig. 48. - Cf1 γ , Xiasi 7/170, (23615), RC23144, x75.

Endospirolectammina yongfuensis WANG, 1986

Fig. 49. - Cf1 γ , Xiasi 7/174, (23524), WU, x75.

Endothyra sp. 1 (bulbiseptale)

Fig. 50. - Cf1 β , Tiekkeng 8c, (23480), RC22983, x75.

Endothyra parakosvensis LIPINA, 1955 aff. *beruinae* CONIL, 1978

Fig. 51. - Cf1 β , Tiekkeng 8c, (23692), RC23168, x75.

Fig. 52. - Idem , (23703), RC23191, x75.

Fig. 53. - Idem , (23484b), RC23109, x75.

Fig. 54. - Idem , (23694), RC23167, x75.

Endothyra sp.

Fig. 55. - Cf1 γ , Xiasi 7/174, (23456), RC23089, x75.

Endothyra sp.

Fig. 56. - Cf1 γ , Xiasi 7/174, (23520), WU, x75.

Granuliferella sp.

Fig. 57. - Cf2 , Xiasi 7/178, (23516), WU, x75.

Endothyra sp. 2

Fig. 58. - Cf1 β , Tiekkeng 8c, (23691), RC23168, x75.

Fig. 59. - Idem , (23696), RC23190, x75.

Endothyra parakosvensis LIPINA, 1955 cf. *beruinae* CONIL, 1978

Fig. 60. - Cf1 β , Tiekkeng 8c, (23700), RC23166, x75.

Fig. 61. - Idem, Tiekkeng 8c, (23604), RC23133, x75.

Endothyra sp. 3 nov.

Fig. 62. - Cf1 β , Tiekkeng 8c, (23483), RC23109, x75.

Fig. 63. - Idem , (23482), RC23109, x75.

Endothyra (?) sp. 4

Fig. 64. - Cf1 β , Tiekkeng 8c, (23698), RC23166, x75.

Endothyra sp.

Fig. 65. - Cf2 , Xiasi 7/179, (23457), RC23090, x75.

cf. *Omphalotis* sp.

Fig. 66. - Cf(3), Xiasi 7/187, (23477), RC23096, x75.

Tuberendothyra tuberculata LIPINA, 1948

Fig. 67. - Cf1 γ , Xiasi 7/170, (23685), RC23179, x75.

Endothyra sp.

Fig. 68. - Cf1(α), Baihupo 6/7e, (23681), RC23188, x75.

Fig. 69. - Idem , (23465), RC23101, x75.

Fig. 70. - Cf1(α), Xiasi 7/150, (23542), WU, x75.

PLANCHE 3

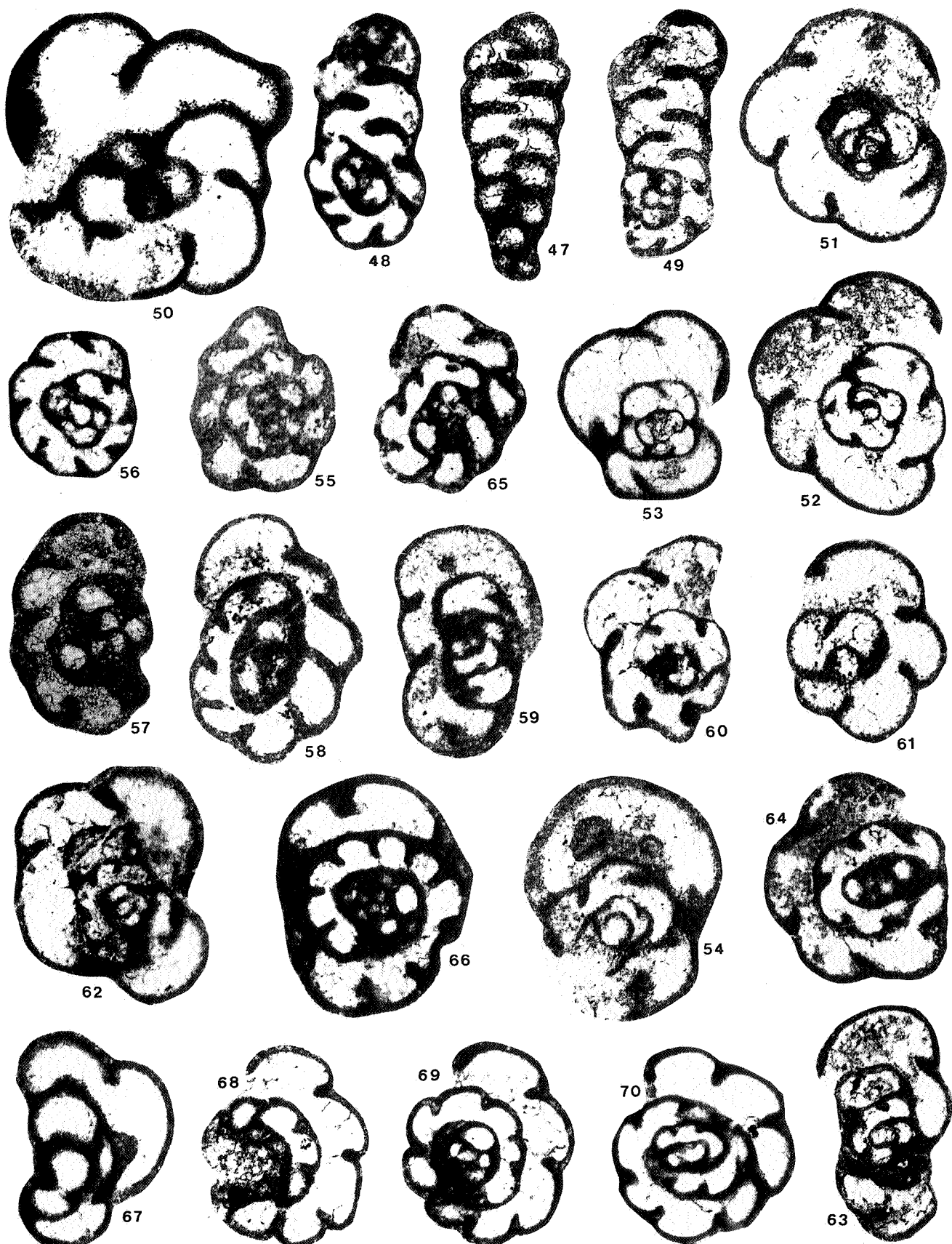


PLANCHE 4

Endothyra (?) aff. sp. 4

Fig. 71. - Cf1γ, Xiasi 7/174, (23522), WU, x75.
Fig. 72. - Idem , (23455), RC23089, x75.

Endothyra sp. 2

Fig. 73. - Cf1β, Tiecheng 8c, (23697), RC23190, x75.
Fig. 74. - Idem , (23702), RC23191, x75.

Endothyra sp.

Fig. 75. - Cf1β, Xiasi 7/169, (23554), WU, x75.

Endothyra sp.

Fig. 76. - Cf1γ, Xiasi 7/174, (23682), RC23182, x75.

Endothyra sp.

Fig. 77. - Cf(3), Xiasi 7/185-I, (23527), WU, x75.

Endothyra sp. 1

Fig. 78. - Cf1β, Tiecheng 8c, (23484a), RC23109, x75.

Endothyra sp.

Fig. 79. - Cf1β, Tiecheng 8c, (23501), RC23097, x75.

Fig. 80. - *Elergella* cf. *abrupta* (LIN & SHI, 1986)

Cf1γ, Xiasi 7/175, (23525), WU, x75.

L'âge des originaux est apparemment semblable et les spécimens se ressemblent par l'expansion du dernier tour et par les loges resserrées des tours internes. *Elerg. simakovi* CONIL, 1984 du T(2) de l'Omolon est peut-être plus proche par son enroulement et sa pelote initiale, mais possède une paroi plus massive.

Elergella sp.

Fig. 81. - Cf1β, Tiecheng 8c, (23485), RC23109, x75.

Fig. 82. - Cf1γ, Xiasi, 7/173, (23514), WU, x75.

Latiendothyranopsis aff. *shiloi* CONIL, 1984

Fig. 83. - Cf2 , Gedongguan F24 (23498), RC23074, x75.

Fig. 84. - Cf(3), Xiasi, 7/185, (23689), RC23187, x75.

Latiendothyranopsis sp.

Fig. 85. - Cf2 , Xiasi 7/178, (23515), WU, x75.

Latiendothyranopsis sp.

Fig. 86. - Cf1γ, Xiasi 7/174, (23503), WU, x75.

Latiendothyranopsis sp.

Fig. 87. - Cf(3), Xiasi 7/187, (23495), RC23010, x75.

Latiendothyranopsis sp.

Fig. 88. - Cf2 , Luojiang 1'/27a, (23502), RC22979, x75.

cf. *Florennella* sp.

Fig. 89. - Cf4a, Fm. Jiusi, région de Dushan, 78 (23490), RC23113, x75.

Endothyra sp.

Fig. 90. - Cf4a, Fm. Jiusi, région de Dushan, 78, (23679), RC23169, x75.

Paraendothyra aff. *portentosa* CONIL, 1984

Fig. 91. - Cf(3), Xiasi 7/187', (23493), RC23096, x75.

Ces grandes espèces du groupe *nalivkini* caractérisent l'Ivorien eurasiatique.

PLANCHE 4

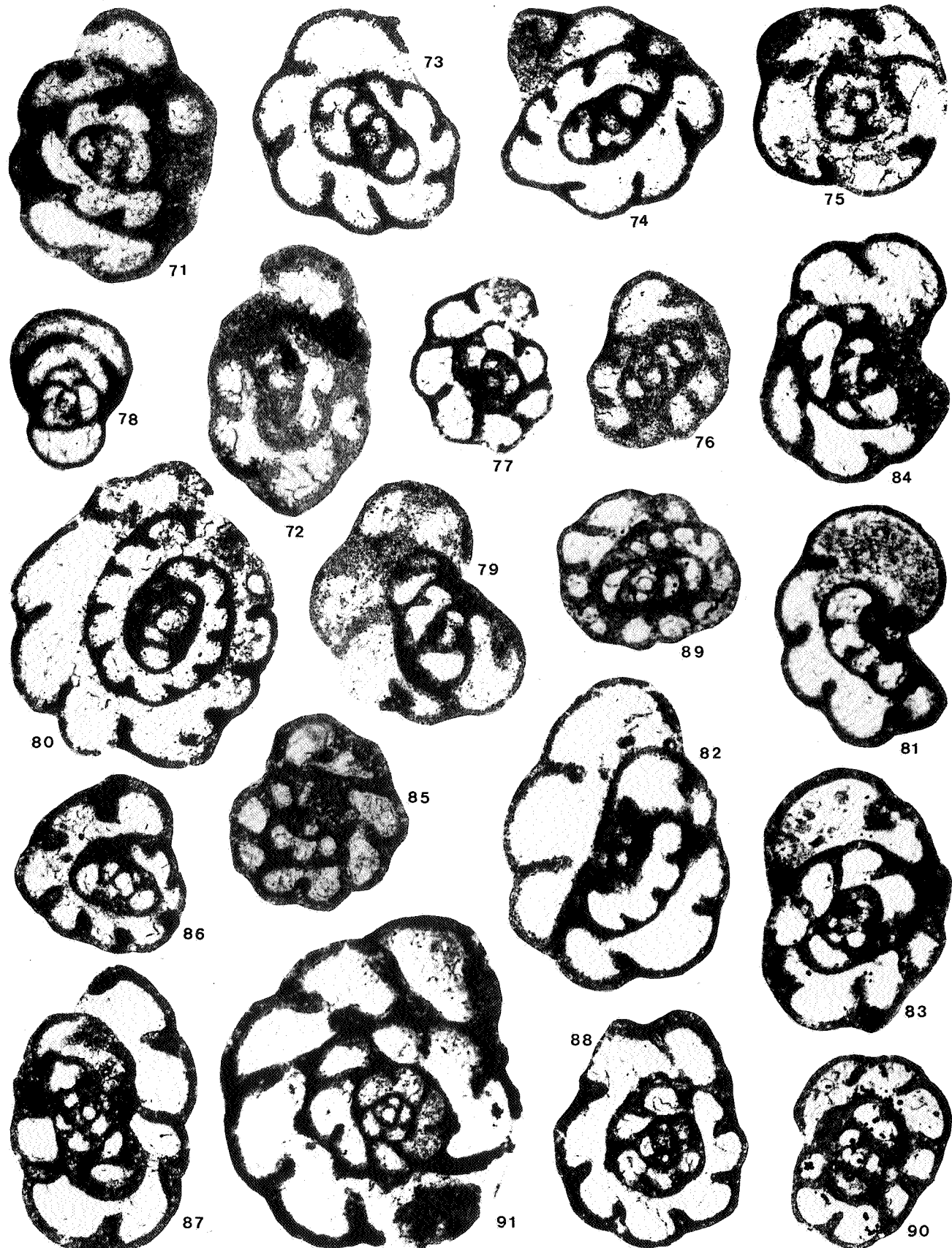


PLANCHE 5

Paraendothyra aff. *portentosa* CONIL, 1984

Fig. 92. - Cf(3), Xiasi 7/186, RC23156, (23646), x75.

Paraendothyra sp.

Fig. 93. - Cf(3), Gedongguan, F24, RC23074, (23499), x75.

Fig. 94. - Cf(3), Idem , (23780), x75.

Fig. 95. - Cf(3), Xiasi 7/186, RC23149, (23624), x75.

Endothyra aff. *danica* MICHELSEN, 1971

Fig. 96. - Cf4 α , Fm. Jiusi, région de Dushan, 78, RC23148, (23608), x75.

Endothyra sp. (ex gr. *danica* ?)

Fig. 97. - Cf4 α , Fm. Jiusi, région de Dushan, 78, RC22986, (23468), x75.

cf. *Florennella* sp. 1

Fig. 98. - Cf4 α , Fm. Jiusi, région de Dushan, 78, RC23099, (23460), x75.

cf. *Florennella* sp. 2

Fig. 99. - Cf4 α , Fm. Jiusi, région de Dushan, 78, RC23113, (23489), x75.

cf. *Florennella* sp. 3

Fig. 100.- Cf4 α , Fm. Jiusi, région de Dushan, 78, RC23099, (23459), x75.

Eoparastaffella sp.

Fig. 101.- Cf4 α , Fm. Jiusi, région de Dushan, 78, RC23113, (23492), x75.

Fig. 102.- Idem , RC22986, (23471), x75.

Fig. 103.- Idem , RC22986, (23470), x75.

Quasiendothyra konensis (LEBEDEVA, 1956)

Fig. 104.- Cf1 (α), Xiasi 7/149, RC22993, (23446), x75.

Fig. 105.- Idem, 7/144-I, WU, (23531), x75.

Fig. 106.- Idem, 7/144, WU, (23534), x75.

Fig. 107.- Idem, 7/144-I, WU, (23532), x75.

Quasiendothyra konensis (LEB., 1956), cf. *dentata* (DURKINA, 1959)

Fig. 108.- Cf1 (α), Xiasi 7/144-II, WU, (23549), x75.

Klubovella sp.

Fig. 109.- Cf1 (α), Xiasi 7/150, WU, (23543), x75.

Dainella micula POSTOYALKO, 1970

Fig. 110.- Cf(3), Xiasi 7/186, RC23149, (23623), x75.

Fig. 111.- Idem, 7/186', RC23094, (23476), x75.

Fig. 112.- Cf4 α , Fm. Jiusi, région de Dushan, 78, RC23148, (23612), x75.

Fig. 113.- Idem, RC23099, (23458), x75.

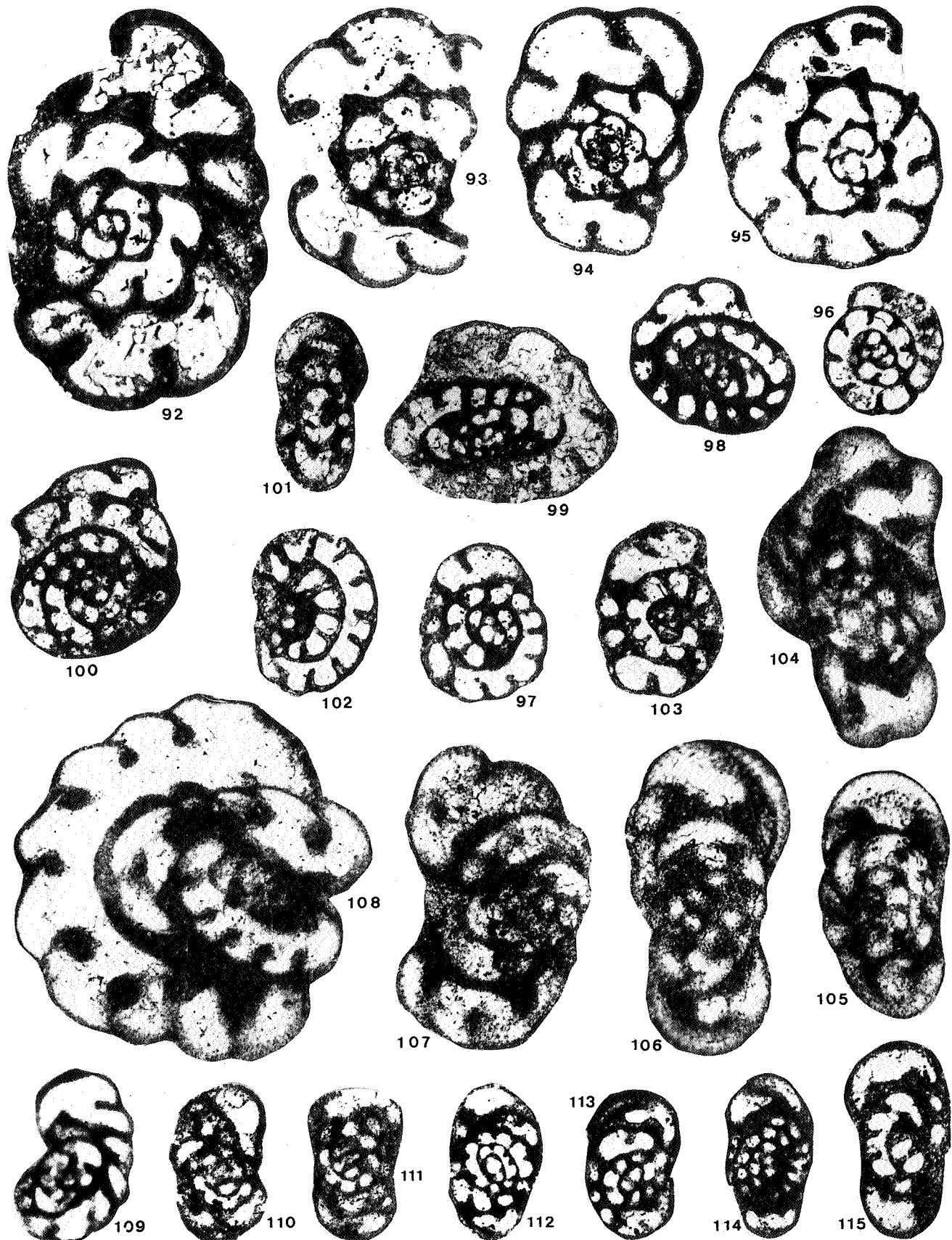
Dainella sp.

Fig. 114.- Cf4 α , Fm. Jiusi, région de Dushan, 78, RC22986, (23467), x75.

Daineilla sp.

Fig. 115.- Cf4 α , Fm. Jiusi, région de Dushan, 78, RC23126, (23496), x75.

PLANCHE 5



Produits chimiques, matières plastiques,... connaissez-vous SOLVAY ?

- 2^e entreprise belge.
- figure parmi les 12 premières sociétés chimiques européennes.
- plus de 200 milliards de chiffre d'affaires en 1984.
- plus de 290 établissements situés dans 34 pays (dont 18 en Europe).
- occupe plus de 44.000 personnes dans le monde.
- se trouve parmi les premiers producteurs mondiaux d'alcalis; de chlore; de polyoléfines, de produits peroxydés,...
- détient une position importante dans les produits pour le bâtiment et la décoration intérieure, l'emballage, la pharmacie humaine et vétérinaire, la biochimie et la chimie fine,...



La chimie de demain

Si vous souhaitez de plus amples informations, adressez-vous à:
SOLVAY & Cie S.A. - rue du Prince Albert 33 - B-1050 Bruxelles - Tél. 02/516.61.11

